



شبیه‌سازی توزیع هپارین درون شریان کرونری آسیب دیده

سید مسعود واحدی^۱، محمدصادق ولی‌پور^{۲*}، فیلیپو دی مونته^۳

۱- دانشجوی کارشناسی ارشد، مهندسی مکانیک، دانشگاه سمنان، سمنان

۲- دانشیار، مهندسی مکانیک، دانشگاه سمنان، سمنان

۳- دانشیار، مهندسی مکانیک، دانشگاه لآکویلا، لآکویلا، ایتالیا

* سمنان، صندوق پستی ۳۵۱۳۱-۱۹۱۱۱، msvalipour@semnan.ac.ir

چکیده

امروزه استفاده از استنت‌های دارویی به عنوان روشی موفق در درمان انسداد عروق کرونری بسیار مورد توجه قرار گرفته‌اند. در این مقاله به منظور مطالعه اهمیت پوشش فوقانی در استنت حاوی هپارین، عملکرد دو طراحی وجود و عدم وجود این لایه تازرک عاری از دارو با یکدیگر مقایسه شده است. علاوه بر این، در مطالعه حاضر، اهمیت جریان پلاسمای به عنوان موضوعی بحث برانگیز بین پژوهشگران مورد بررسی قرار گرفته است. به منظور نزدیکتر کردن شبیه‌سازی به واقعیت کارکرد قلب وجود جریان پلاسمای در حالت ضربانی در نظر گرفته شده و جراحت وارد به رگ در طی آنژیوبلاستی تا عمق لایه مدیا نفوذ کرده است. معادلات محیط متخلخل که بصورت حجمی میانگین گیری شده و دینامیک رهایش دارو را توصیف می‌کنند بصورت عددی به روش حجم محدود حل شده‌اند. نتایج به دست آمده میزان فروافتگی استرات در جداره رگ را در درجه اول اهمیت قرار می‌دهد. گزیر استرات از لایه‌های اندولیوم، اینتیما و لایه الاستیک داخلی و تماس مستقیم آن با لایه مدیا تغییرات بسیار زیادی در فارماکوکیتیک محلی ایجاد می‌کند. اگرچه جریان پلاسمای باعث کاهش افزایش مقدار متوسط سطح غلظت و متعاقباً کاهش افزایش جرم موجود در لایه مدیا/ادونتیس می‌شود، اما نتایج از کم اهمیت بودن این جریان حکایت دارند. از جمله دیگر یافته‌ها می‌توان به کم اثر بودن پوشش فوقانی قرار گرفته روی پلیمر حاوی هپارین یاد کرد.

اطلاعات مقاله

مقاله پژوهشی کامل

دریافت: ۱۸ خرداد ۱۳۹۵

پذیرش: ۳۱ شهریور ۱۳۹۵

ارائه در سایت: ۱۶ آبان ۱۳۹۵

کلید واژگان:

استنت‌های دارویی

رهایش دارو

اترواسکلروزیس

محیط متخلخل

فارماکوکیتیک

Simulation of heparin distribution in an injured coronary artery

Seyed Masoud Vahedi¹, Mohammad Sadegh Valipour^{1*}, Filippo de Monte²

1- Faculty of Mechanical Engineering, Semnan University, Semnan, Iran.

2- Faculty of Industrial and Information Engineering and Economics, University of L'Aquila, L'Aquila, Italy

* P.O.B. 35131-19111, Semnan, Iran, msvalipour@semnan.ac.ir

ARTICLE INFORMATION

Original Research Paper

Received 07 June 2016

Accepted 21 September 2016

Available Online 06 November 2016

Keywords:

Drug Eluting Stents (DESs)

Drug delivery

Atherosclerosis

Porous media

Pharmacokinetics

ABSTRACT

Nowadays the use of Drug Eluting Stents (DESs) is considered as a successful method for the treatment of coronary artery blockage. In order to study the impact of the presence of topcoat on heparin-eluting stents efficacy, two designs (with and without drug free topcoat) have been compared. Moreover, here the importance of the plasma flow as a controversial topic among researchers has been studied. In order to have more realistic working heart, plasma flow is considered a pulsatile function. Also, the injury of the coronary artery penetrated to a depth of media layer during angioplasty. Volume-averaged porous media equations which describe the drug release dynamics are employed and solved numerically by Finite Volume Method (FVM). Results put the amount of strut penetration in the forefront of importance. Local drug pharmacokinetics experiences significant changes by strut passing through endothelium, intima and Internal Elastic Lamina (IEL) and being contiguous with media layer. Although the plasma flow decreases/increases the amount of concentration level and subsequently decreases/increases the amount of drug mass in media/adventitia layer, the results show that these effects are not significant. Among other findings, it is notable that the presence of topcoat has a negligible effect on the release characteristics.

۱- مقدمه

حقوقین سال 2000 را نقطه عطفی برای داروسازی و واکسیناسیون می‌دانند، به این دلیل که نقش بیماری‌های واگیردار که تا آن زمان بیشترین تعداد مرگ و میر را به خود اختصاص می‌دادند از آن تاریخ به بعد رو به کمرنگ شدن گذاشتند. با پیشرفت سامانه‌های نوین داروسازی مانند سامانه‌های پلیمری، رهایش دارو بیش از پیش تحت کنترل در آمد. این سامانه می‌تواند بر روی استنت‌ها برای درمان انسداد عروق کرونری قرار بگیرد؛ همچنانی از این سامانه بر روی لزنهای تماسی با قرنیه چشم و پدھای درمانی پوستی

Please cite this article using:

S. M. Vahedi, M. S. Valipour, F. d. Monte, Simulation of heparin distribution in an injured coronary artery, *Modares Mechanical Engineering*, Vol. 16, No. 11, pp. 255-265, 2016
(in Persian)

برای ارجاع به این مقاله از عبارت ذیل استفاده نمایید:

Br. ارجاع به این مقاله از عبارت ذیل استفاده نمایید:

Br. ارجاع به این مقاله از عبارت ذیل استفاده نمایید:

- عددی بررسی کردند. وادا و کارینو [19] انتقال ذرات لیپوپروتئین کم چگال از جریان خون به درون جداره رگ را بررسی کردند.
- جداره تکلایه: در این روش میانگینی از خواص تمام لایه‌ها در نظر گرفته شده و جداره رگ بصورت یک لایه مخلخل و همگن مدل‌سازی می‌شود.
 - جداره چندلایه: در این روش از آناتومی واقعی رگ الگوبرداری شده و هر لایه دارای خواص متفاوتی است. به همین دلیل تا به امروز این روش دقیق‌ترین روش معروفی شده است.
- جراحتی که در طی آنژیوپلاستی به جداره رگ تحمیل می‌شود سبب می‌شود تا عوامل انعقادی فعال شوند و انسداد مجدد درون استنت رخ دهد [20,3]. در برخی موارد جراحت واردۀ تا عمق لایه مدیا و حتی ادونتیس هم نفوذ پیدا می‌کند [21]. در حقیقت همین جراحت نقطه آغازی بود تا محققین اضافه کردن عامل درمانی بر روی استنت را پیشنهاد دادند. داروهای مختلف با خواص ضد لختگی⁴, سرکوب‌کننده سیستم ایمنی⁵, ضد تکثیر سلولی⁶, ضدالتلهایی⁷ و تعدیل‌کننده ماتریس خارج سلولی⁸ برای پوشش دهی استنت‌های دارویی استفاده می‌شود [22]. پونترلی و دی مونته [23] در نخستین مطالعه سیستماتیک خود انتقال هپارین را توسط مدل جداره تکلایه مطالعه کردند. آنها بوسیله آنالیز ابعادی بیان کردند که ترم جابجایی قابل صرف نظر کردن است. با این حال در مطالعه بعدی خود [24] که مجدداً مشابه با هندسه قبلی بود، اثر ترم جابجایی را در چند حالت مختلف از نظر قدرت جریان پلاسمما بررسی کردند. علی‌رغم تغییرات زیادی که در مشخصه‌های رهایش گزارش کردند، جریان پلاسمما را قابل اغماض دانستند. آنها در دو مطالعه بعدی خود [26,25] که از ساختار جداره چندلایه استفاده کردند بر این موضوع پافشاری کرده و نفوذ خالص را شبیه‌سازی کردند. لازم به ذکر است که در کلیه مطالعات بیان شده از این محققین رگ سالم بصورت یک-بعدی شبیه‌سازی شده و پوشش فوقانی به عنوان لایه‌ای بر روی پلیمر حاوی دارو وجود دارد. زونینو [27] در مطالعه خود بر روی هپارین و پاکلیتاکسل شریان کرونری را بصورت دو بعدی با جداره تکلایه شبیه‌سازی کرده و جریان پلاسمما را وارد معادلات خود کرد. او نیز به بی اهمیت بودن این ترم جابجایی را رد کردند؛ بدین معنی که استنت را در تماس مستقیم با لایه مدیا قرار داده و سه لایه پیش رو را حذف کردند. از سوی دیگر کوترب و همکاران [29], دانجلو و زونینو [30] با مهم برشمردن پدیده جابجایی ناشی از جریان پلاسمما از عرض رگ انتقال دارو را مطالعه کردند. واحدی و ولی‌پور [31] با استفاده از مدل سیال-جداره اثر جریان پلاسمما در شرایط وجود فشارخون را مهم دانستند. در اینجا عدم قطعیتی در خصوص حذف لایه‌ها و اهمیت پوشش فوقانی مطرح می‌شود. علاوه بر این، همه پژوهشگران جریان پلاسمما را بصورت غیرربانی مطالعه کردند و جریان ضربانی در مطالعات مربوط به استنت‌های دارویی تا به حال بررسی نشده است؛ همچنین مسئله بررسی نفوذ اثر نوسانات فشار در جداره رگ تا به حال مورد توجه قرار نگرفته است. در این مقاله اهمیت پوشش فوقانی (وجود و عدم وجود آن) بر سینتیک رهایش دارو در شرایط طبیعی کارکرد قلب موربد بررسی قرار گرفته و اهمیت جریان پلاسمما در هر دو طراحی مطرح شده وارد معادلات شده است.

³ Antithrombotic⁴ Immunosuppressive⁵ Antiproliferative⁶ Anti-inflammatory⁷ Extracellular matrix modulators

اکسیژن به دیواره عضلانی قلب حمله قلبی ناگهان رخ می‌دهد [4]. اگرچه روش‌های تهاجمی و غیرتهاجمی بسیاری برای مبارزه با این بیماری وجود دارد، اما امروزه آنژیوپلاستی به عنوان روشی موفق با کمترین تهاجم در مواجهه با انسداد شریان کرونری بسیار پرکاربرد است [2].

همانطور که در شکل 1 دیده می‌شود، شریان کرونری از لایه‌های متعددی تشکیل شده است. گلایکوکالیکس لایه اندوتلیوم را پوشش داده و به دلیل نازک بودن آن (در حدود 60nm) این لایه در مدل‌سازی رگ در نظر گرفته نمی‌شود [5]. لایه بعدی، اندوتلیوم، از سلول‌های اندوتلیال ساخته شده است. این لایه کمتر اوتارین لایه بوده و از رگ در برابر نوسانات فشار خون و اغتشاشات جریان به خوبی محافظت می‌کند [6]. لایه بعدی اینتیما است. این لایه که از فیبرهای پروتوگلیکان و کلارن تشکیل شده، تراواترین لایه بوده و وظیفه انعطاف‌پذیری رگ را بر عهده دارد [7]. لایه بعدی، لایه الاستیک داخلی، ضخامتی برابر با اندوتلیوم داشته و بسیار نازک است. این لایه کمتر اوتراوا از بافت‌های الاستیک غیرقابل نفوذ تشکیل شده و اینتیما و مدیا را به هم متصل می‌کند [8]. مدیا نام لایه بعدی است که نسبتاً ضخیم بوده و شامل سلول‌های عضله صاف، بافت متصل کننده الاستیک و مویرگ‌ها است. این لایه توسط اتصالات پراکنده به ادونتیس متصل شده است. بیرونی ترین و آخرین لایه ادونتیس می‌باشد، این لایه ژل مانند بیشترین ضخامت را دارا بوده و با چسباندن رگ به ارگان‌ها به پایدار شدن هرچه بیشتر رگ کمک می‌کند. در بسیاری از مطالعات وجود این لایه با شرط مرزی غلظت یا شار جرمی در انتهای لایه مدیا مشخص می‌شود [8,7]. مویرگ‌ها (لنفتیک و وازاواروم) در این لایه وجود دارند. در شریان‌های بزرگ این مویرگ‌ها به نواحی انتهایی مدیا نفوذ می‌کنند [9]. اگرچه مطالعات متعددی استفاده از استنت‌های دارویی را در اولویت بالاتری نسبت به استنت‌های بدون دارو قرار می‌دهند [11,10]، اما به عقیده بساک و همکاران [12] و مارتین و بویل [13] اثربخشی این نوع استنت‌ها در درازمدت همچنان تحت بررسی بوده و هنوز به قطعیت اولویت استنت‌های دارویی نسبت به استنت‌های بدون دارو تایید نشده است. مک‌گینتی و پونترلی [14]، اوکونل و والش [15] معتقدند که با شفاف شدن فرآیند انتقال دارو و آگاهی از اهمیت انواع ریسک‌فاکتورهای موثر بر فارماکوکینتیک دارو و با کاهش عدم قطعیت‌های طراحی می‌توان استنت‌هایی دارویی با عملکرد بهتر طراحی کرد. محدودیت‌های موجود در تست‌های تجربی سبب شد تا پژوهشگران به شبیه‌سازی‌های عددی روی آوردن. در استنت‌هایی که توسط برخی شرکت‌های صاحبانام مانند سایفر¹ تولید می‌شوند بر روی داروی سیرولیموس و پاکلیتاکسل پوشش فوقانی از استفاده شده تا بتوان بدین طریق رهایش را بیش از پیش تحت کنترل درآورد [16]. در استنت‌های بدون با پوشش فوقانی از سامانه پلیمری رهایش سریع²/آهسته³ استفاده شده است. پروزی و همکاران [17] در مطالعات مربوط به انتقال ذرات، (انتقال دارو و ذرات درشت مولکول مانند لیپوپروتئین کم چگال) مدل‌سازی جداره رگ را به سه دسته تقسیم‌بندی کردند.

- بدون دیواره: در این روش وجود جداره رگ توسط چند شرط مرزی ساده در فصل مشترک مجرأ-دیواره به مسئله اعمال می‌شود. از آنجا که ضخامت رگ وارد مدل‌سازی نمی‌شود، این روش در بدست آوردن توزیع غلظت در عرض رگ ناتوان است. با این وجود راپاتیش و پرکتول [18] انتقال ذرات آبومین در جریان نوسانی در عروق با قطر بزرگ را بصورت

¹ Cypher² Fast drug release³ Slow drug release

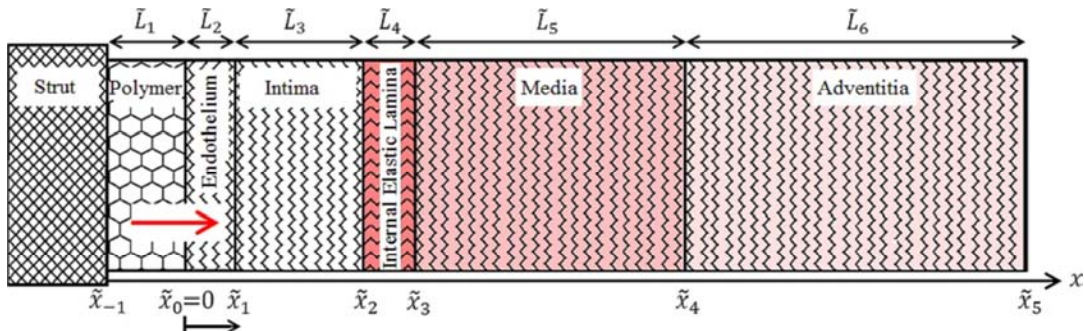


Fig. 1 Schematic representation of one-dimensional healthy coronary artery [23].

شکل 1 طرحواره یک بعدی از شریان کرونری سالم [23].

کدام از لحاظ ماقروскопیک همگن و با خواص متفاوت هستند در نظر گرفته می‌شود؛ بطوری که می‌توان از تئوری محیط‌های متخلخل در پایه‌ریزی معادلات حاکم استفاده کرد.

مطابق شکل 2 لایه‌ها به گونه‌ای هستند که لایه نام در بازه $[x_{i-1} - x_i]$ قرار گرفته و $x_1 - x_2$ سطح استرات را نشان می‌دهد. در این مطالعه دو طراحی مورد بررسی قرار می‌گیرند که در نتیجه مقایسه آنها اهمیت وجود پوشش فوقانی مشخص می‌شود. در طراحی اول پوشش فوقانی وجود داشته و در طراحی دوم این لایه نازک، کمتر اوا و عاری از دارو برداشته می‌شود. به دلیل نازک بودن و تراوایی بسیار پایین پوشش فوقانی، این لایه در شبیه‌سازی بصورت غشا در نظر گرفته شده و بجای معادلات مربوط به تئوری محیط‌های متخلخل از معادلات کدم و کاچالسکی استفاده می‌شود [32,1]. با توجه به مدل مفهومی می‌توان فرضیات حاکم بر مسئله را بصورت زیر خلاصه کرد:

- سطح استرات غیرتراوا است، بطوری که پلاسمما از آن عبور نمی‌کند.
- جریان پلاسمما فقط در لایه مدیا وجود دارد.
- نوسانات فشار خون درون مجرأ بصورت سینوسی مدل سازی می‌شوند.
- از دستگاه مختصات کارتزین یکبعدی برای دامنه محاسباتی استفاده شد.
- جداره رگ آسیب دیده بصورت دو لایه متخلخل همگن مدل می‌شود.
- استفاده از معادلات کدم و کاچالسکی در شرایط وجود پوشش فوقانی.
- خواص هیدرولیکی رگ در کلیه لایه‌ها ثابت در نظر گرفته می‌شود.

3-مدل ریاضی

3-1-معادلات حاکم

بر اساس مدل مفهومی و فرضیات ارایه شده، ناحیه مدل سازی را می‌توان مطابق شکل 3 به سه بخش تقسیم کرد. بر این اساس معادلات بقای جرم را می‌توان بصورت معادلات (3-1) نوشت. با توجه به آنکه ضخامت پلیمر در برابر جداره رگ کوچک است، پلیمر در پشت استرات پناه گرفته و جریان پلاسمما امکان چرخش، تغییر مسیر و ورود به درون پلیمر را ندارد؛ بنابراین از اعمال ترم جابجایی در پلیمر صرف نظر می‌شود [33].

$$\frac{\partial \tilde{c}_1}{\partial t} - D_1 \frac{\partial^2 \tilde{c}_1}{\partial \tilde{x}^2} = 0 \quad , \quad \tilde{x}_{-1} \leq \tilde{x} < 0 \quad (1)$$

به دلیل وجود اختلاف فشاری که در عرض لایه مدیا برقرار است، عبارت جابجایی در این لایه وجود دارد [29].

$$\frac{\partial \tilde{c}_2}{\partial t} - D_2 \frac{\partial^2 \tilde{c}_2}{\partial \tilde{x}^2} + \frac{(1 - \sigma_f) \tilde{u}(\tilde{x}, \tilde{t})}{(k\epsilon)_2} \frac{\partial \tilde{c}_2}{\partial \tilde{x}} = 0 \quad , \quad 0 \leq \tilde{x} < \tilde{x}_1 \quad (2)$$

جریان موجود در لایه ادونتیس بصورت نفوذ خالص مدل سازی می‌شود [25].

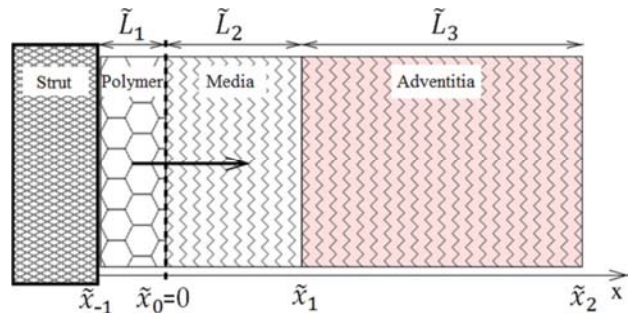
$$\frac{\partial \tilde{c}_3}{\partial t} - D_3 \frac{\partial^2 \tilde{c}_3}{\partial \tilde{x}^2} = 0 \quad , \quad \tilde{x}_1 \leq \tilde{x} < \tilde{x}_2 \quad (3)$$

در این مطالعه رگ آسیب دیده بصورت ساختار چندلایه مدل سازی شده است. جراحت وارد به رگ به گونه‌ای در نظر گرفته شده که استرات از لایه‌های اندوتلیوم، اینتیما و لایه الاستیک داخلی عبور کرده و در تماس مستقیم با لایه مدیا قرار گرفته است. توزیع غلظت هپارین به عنوان داروی عامل در داروی موجود در دو لایه ذکر شده بصورت تابعی از زمان در مدت 6h:30min بدست آمد. در انتهای پروفیل رهایش دارو به عنوان یکی از مشخصه‌های بسیار مهم عملکرد پلیمر مورد ارزیابی قرار گرفت.

2-مدل مفهومی

اگرچه جداره رگ سالم از پنج لایه با خواص متفاوتی تشکیل شده است؛ در این مطالعه فرض شده جراحت ناشی از انبساط بالون در فرآیند آنتیوپلاستی از لایه‌های اندوتلیوم، اینتیما و لایه الاستیک داخلی (درمجموع به ضخامت 14μm) عبور کرده و استرات در تماس مستقیم با لایه مدیا قرار می‌گیرد [21]؛ بنابراین بجای شکل 1، طرحواره نشان داده در شکل 2 معرف دامنه محاسباتی در مطالعه حاضر است. استنت یک لوله مشبك بسیار ظریف از جنس‌های مختلفی مثل فولاد ضدزنگ و آلیاژهای حافظه‌دار است. در ابتداء دارو با بیشترین غلظت یعنی با مقدار \tilde{C}_1 درون پوشش لانه‌نborی (لایه \tilde{L}_1) به ضخامت 5μm دارا می‌باشد بطوری که می‌توان از تغییرات محیطی خواص صرف نظر کرده و هندسه را به دو بعد تقلیل داد. همچنین با صرف نظر از تغییرات محوری رگ می‌توان هندسه را به یکبعدی کاهش داد.

علاوه بر این بر اساس ابعاد بیان شده نسبت ضخامت دارو به شعاع شریان کرونری برابر با 0.0033 است؛ در نتیجه استفاده از دستگاه مختصات کارتزین کار منطقی است [25]. رگ بصورت دولایه محیط متخلخل که هر



شکل 2 طرحواره یک بعدی شریان کرونری آسیب دیده.

$$-D_1 \frac{\partial \tilde{c}_1}{\partial \tilde{x}} = P \left(\frac{\tilde{c}_1}{(k\varepsilon)_1} - \frac{\tilde{c}_2}{(k\varepsilon)_2} \right), \quad \tilde{x} = 0 \quad (17)$$

$$\frac{\tilde{c}_1}{(k\varepsilon)_1} = \frac{\tilde{c}_2}{(k\varepsilon)_2}, \quad \tilde{x} = 0 \quad (18)$$

3-3- بی بعد سازی معادلات

به منظور عمومی تر کردن نتایج بهتر است معادلات و شرایط مرزی و اولیه بی بعد شوند. از پارامترهای زیر جهت بی بعد سازی استفاده می شود.

$$\begin{aligned} x &= \frac{\tilde{x}}{\tilde{L}_2 + \tilde{L}_3}, L_i = \frac{\tilde{L}_i}{\tilde{L}_2 + \tilde{L}_3}, t = \frac{D_{max}}{(\tilde{L}_2 + \tilde{L}_3)^2} \tilde{t}, c_i = \frac{\tilde{c}_i}{\tilde{C}_1} \\ \gamma_i &= \frac{D_i}{D_{max}}, \sigma_i = \frac{(k\varepsilon)_i}{(k\varepsilon)_{max}}, u(x, t) = \frac{\tilde{u}(\tilde{x}, \tilde{t})}{U_{ref}}, p(x, t) = \frac{\tilde{p}(\tilde{x}, \tilde{t})}{\tilde{p}(\tilde{x}_1, \tilde{t})} \\ \Gamma &= \frac{\kappa}{D_{max}\mu\lambda(k\varepsilon)_2}, Pe = \frac{(1 - \sigma_f)U_{ref}(\tilde{L}_2 + \tilde{L}_3)}{(k\varepsilon)_{max}D_{max}} \\ \phi &= \frac{P(\tilde{L}_2 + \tilde{L}_3)}{D_{max}(k\varepsilon)_{max}}, VV = \frac{-\kappa\tilde{p}(\tilde{x}_1, \tilde{t})}{\mu(\tilde{L}_2 + \tilde{L}_3)^2 U_{ref}} \end{aligned}$$

به دلیل نوسانی بودن سرعت و فشار در بی بعد سازی این دو متغیر می بایست از مقادیر مرجع و ثابتی استفاده شود. به همین منظور در اینجا سرعت U_{ref} سرعت ثابتی است که توسط قانون دارسی از شرط اولیه پروفیل فشار محاسبه می شود. همچنین $\tilde{p}(\tilde{x}_1, \tilde{t})$ مقدار ثابتی است که فشار در فصل مشترک مدیا-ادونتیس می باشد. با اعمال پارامترهای بدون بعد به معادلات (18-1) معادلات بدون بعد بصورت زیر بازنویسی می شوند.

$$\frac{\partial c_1}{\partial t} - \gamma_1 \frac{\partial^2 c_1}{\partial x^2} = 0, \quad x_{-1} \leq x < 0 \quad (19)$$

$$\frac{\partial c_2}{\partial t} - \gamma_2 \frac{\partial^2 c_2}{\partial x^2} + Pe u(x, t) \frac{\partial c_2}{\partial x} = 0, \quad 0 \leq x < x_1 \quad (20)$$

$$\frac{\partial c_3}{\partial t} - \gamma_3 \frac{\partial^2 c_3}{\partial x^2} = 0, \quad x_1 \leq x < x_2 \quad (21)$$

$$\frac{\partial p}{\partial t} = \Gamma \frac{\partial^2 p}{\partial x^2}, \quad 0 \leq x < x_1 \quad (22)$$

$$u = VV \frac{\partial p}{\partial x}, \quad 0 \leq x < x_1 \quad (23)$$

$$c(x, 0) = 1, \quad x_{-1} \leq x < 0 \quad (24)$$

$$c(x, 0) = 0, \quad 0 \leq x < x_1 \quad (25)$$

$$c(x, 0) = 0, \quad x_1 \leq x < x_2 \quad (26)$$

$$p(x, 0) = (p(x_1, t) - p(0, t)) \left(\frac{L_2 + L_3}{L_2} \right) x$$

$$+ p(0, t), \quad 0 \leq x < x_1 \quad (27)$$

$$\gamma_1 \frac{\partial c_1}{\partial x} = 0, \quad x = x_{-1} \quad (28)$$

$$c_3 = 0, \quad x = x_2 \quad (29)$$

$$p(x, t) = 3.33 + 0.833 \sin \left(\frac{2\pi t}{12t_{10^{-6}}} \right), \quad x = 0 \quad (30)$$

$$p(x, t) = 1, \quad x = x_1 \quad (31)$$

$$\gamma_2 \frac{\partial c_2}{\partial x} = \gamma_3 \frac{\partial c_3}{\partial x}, \quad x = x_1 \quad (32)$$

$$\frac{c_2}{\sigma_2} = \frac{c_3}{\sigma_3}, \quad x = x_1 \quad (33)$$

$$\gamma_1 \frac{\partial c_1}{\partial x} = \gamma_2 \frac{\partial c_2}{\partial x} - Pe u(x, t) c_2, \quad x = 0 \quad (34)$$

مجدددا اشاره می کنیم که در حالت وجود پوشش فوقانی معادلات (34-19) به همراه معادله (35) و در حالت عدم وجود پوشش فوقانی معادلات (34-19) به همراه معادله (36) حل خواهد شد.

$$-\gamma_1 \frac{\partial c_1}{\partial x} = \phi \left(\frac{c_1}{(k\varepsilon)_1} - \frac{c_2}{(k\varepsilon)_2} \right), \quad x = 0 \quad (35)$$

$$\frac{c_1}{\sigma_1} = \frac{c_2}{\sigma_2}, \quad x = 0 \quad (36)$$

با استفاده از خواص هیدرولیکی و مکانیکی نشان داده شده در جدول 1

ضرایب بدون بعد محاسبه شده و در جدول 2 لیست شده اند. بدین ترتیب

معادلات به همراه شرایط مرزی و اولیه آماده حل هستند.

از آنجا که در این مقاله جریان پلاسمما بصورت ضربانی در نظر گرفته شده، بدست آوردن توزیع فشار الزامی است؛ بدین منظور توزیع فشار در لایه مدیا را می توان توسط معادله نفوذ فشار بصورت زیر محاسبه کرد [35,34].

$$\frac{\partial \tilde{p}}{\partial \tilde{t}} = \frac{\kappa}{\mu\lambda(k\varepsilon)_2} \frac{\partial^2 \tilde{p}}{\partial \tilde{x}^2}, \quad 0 \leq \tilde{x} < \tilde{x}_1 \quad (4)$$

$$\tilde{u}(\tilde{x}, \tilde{t}) = \frac{-\kappa}{\mu} \frac{\partial \tilde{p}}{\partial \tilde{x}}, \quad 0 \leq \tilde{x} < \tilde{x}_1 \quad (5)$$

3-2- شرایط مرزی و اولیه

حل معادلات (5-1) نیازمند شرایط اولیه و مرزی می باشند که در زیر به تفکیک بیان شده اند.

1-2-3- شرایط اولیه

در شروع فرآیند و در ابتدا دارو بطور کامل و با بیشترین غلظت خود درون پلیمر بوده و در همین لحظه در جداره رگ هیچ دارویی وجود ندارد؛ بنابراین شرایط اولیه را می توان بصورت زیر بیان نمود.

$$\tilde{c}_1(\tilde{x}, 0) = \tilde{C}_1, \quad \tilde{x}_{-1} \leq \tilde{x} < 0 \quad (6)$$

$$\tilde{c}_2(\tilde{x}, 0) = 0, \quad 0 \leq \tilde{x} < \tilde{x}_1 \quad (7)$$

$$\tilde{c}_3(\tilde{x}, 0) = 0, \quad \tilde{x}_1 \leq \tilde{x} < \tilde{x}_2 \quad (8)$$

توزیع فشار در حالت جریان پلاسمای غیر ضربانی به عنوان شرط اولیه برای معادله نفوذ فشار در نظر گرفته شده است. بدین ترتیب فشار بصورت خطی از مقدار $\tilde{p}(0, \tilde{t})$ تا $\tilde{p}(\tilde{L}_2, \tilde{t})$ کاهش می یابد.

$$\tilde{p}(\tilde{x}, \tilde{t}) = \left(\frac{\tilde{p}(\tilde{L}_2, \tilde{t}) - \tilde{p}(0, \tilde{t})}{\tilde{L}_2} \right) \tilde{x} + \tilde{p}(0, \tilde{t}), \quad \tilde{t} = 0 \quad (9)$$

2-2-3- شرایط مرزی

دیواره استنت در برابر عبور پلاسمما نفوذناپذیر است. از این رو شار غلظت در سطح آن می بایست صفر در نظر گرفته شود [23].

$$D_1 \frac{\partial \tilde{c}_1}{\partial \tilde{x}} = 0, \quad \tilde{x} = \tilde{x}_{-1} \quad (10)$$

در انتهای لایه ادونتیس غلظت دارو صفر در نظر گرفته می شود [26].

$$\tilde{c}_3 = 0, \quad \tilde{x} = \tilde{x}_2 \quad (11)$$

نوسانات فشار در اثر جریان ضربانی خون درون مجرأ خود را بصورت تابعی سینوسی در فصل مشترک مجرأ-مدیا نشان می دهد [7].

$$\tilde{p}(\tilde{x}, \tilde{t}) = 100 + 25 \sin(2\pi \tilde{t}/\tilde{T}), \quad \tilde{x} = 0 \quad (12)$$

\tilde{T} نشان دهنده دوره تناوب تابع سینوسی فشار می باشد که در این مطالعه طول مدت هر سیکل قلب 1s در نظر گرفته می شود. مقدار متوسط تابع نشان داده شده در معادله (12) بیانگر میانگین فشار خون درون مجرأ می باشد [7].

در فصل مشترک مدیا-ادونتیس مقدار ثابت 30mmHg را به عنوان شرط مرزی در حل معادله فشار در نظر می گیریم [36].

$$\tilde{p}(\tilde{x}, \tilde{t}) = 30, \quad \tilde{x} = \tilde{x}_1 \quad (13)$$

پیوستگی شار غلظت در عبور از هر دو فصل مشترک پلیمر-مدیا و مدیا-ادونتیس وجود دارد (معادلات (14) و (16))؛ همچنین در این نواحی شاهد پرش در غلظت هستیم که در فصل مشترک مدیا-ادونتیس از معادله (15) و در فصل مشترک پلیمر-مدیا در صورت وجود پوشش فوقانی از معادله (17) و در صورت عدم وجود آن از معادله (18) استفاده می شود.

$$D_2 \frac{\partial \tilde{c}_2}{\partial \tilde{x}} = D_3 \frac{\partial \tilde{c}_3}{\partial \tilde{x}}, \quad \tilde{x} = \tilde{x}_1 \quad (14)$$

$$\frac{\tilde{c}_2}{(k\varepsilon)_2} = \frac{\tilde{c}_3}{(k\varepsilon)_3}, \quad \tilde{x} = \tilde{x}_1 \quad (15)$$

$$-D_1 \frac{\partial \tilde{c}_1}{\partial \tilde{x}} = -D_2 \frac{\partial \tilde{c}_2}{\partial \tilde{x}} + \frac{(1 - \sigma_f) \tilde{u}(\tilde{x}, \tilde{t})}{(k\varepsilon)_2} \tilde{c}_2, \quad \tilde{x} = 0 \quad (16)$$

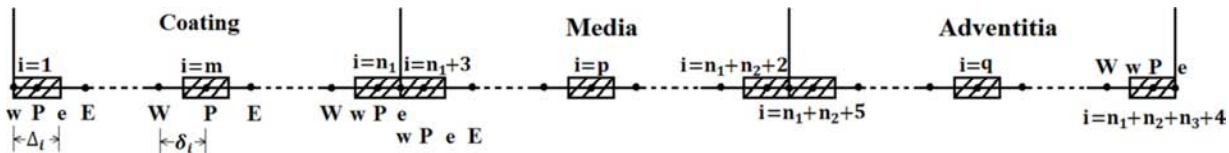


Fig. 3 Schematic representation of computational domain with control volumes.

مدیا و مدیا-ادنتیس تعریف شده و از طریق بسط تیلور بر روی شبکه غیر یکنواخت با دقت مرتبه پنج غلظت آنها از نقاط درون شبکه محاسبه می‌شود.

2-4-روش گستته‌سازی

روش استاندارد و متداول حجم محدود برای گستته‌سازی معادلات (22-19) مورد استفاده قرار گرفته شد. به دلیل گذرا بودن مسئله، عبارت‌های شامل مشتقات زمانی بصورت کاملاً صریح گستته شدند. بدین ترتیب حل بصورت زنجیره‌وار نسبت به زمان پیش می‌رود. در این روش چهار عدد کورانت ظاهر می‌شوند که کنترل کننده‌هایی برای همگرایی مسئله هستند [38]: سه تا با زیرنویس i برای معادلات (21-19) و یکی با زیرنویس p برای معادله (22). برای جلوگیری از واگرا شدن مسئله تنها کافیست عرض سلول‌ها و طول گام زمانی به گونه‌ای انتخاب شوند که این چهار عدد برای کلیه سلول‌ها کمتر از 0.5 شوند [38].

$$\text{Courant}_i = \frac{\gamma_i \Delta t}{\Delta \delta} ; \quad \text{Courant}_p = \frac{\Gamma \Delta t}{\Delta \delta} \quad (37)$$

Δt و Δ به ترتیب گام زمانی، عرض هر سلول و فاصله مرکز تا مرکز دو سلول مجاور را نشان می‌دهند. نسبت ترم جابجایی به نفوذ در بیشترین فشار خون (بیشترین سرعت فیلتراسیون) از مقدار 0.9 تجاوز نمی‌کند. بدین ترتیب استفاده از روش اختلاف مرکزی برای گستته‌سازی ترم‌های مکانی از دقت قابل قبولی برخوردار است [38]. در نهایت معادلات گستته شده توسط برنامه نویسی به زبان فرترن حل شدند.

3-3-اعتبارسنجی

برای اطمینان از صحت و دقت نتایج به دست آمده از حل عددی، نتایج به دست آمده با نتایج تحلیلی انجام‌شده توسط پونترلی و دی‌مونته [25] مقایسه شدند. به منظور همسان‌سازی مطالعه حاضر با مطالعه پونترلی و دی‌مونته [25] رگ سالم مطابق شکل 1 در نظر گرفته شد و کلیه لایه‌ها وارد شبکه‌سازی شدند، علاوه بر این اختلاف فشار عرضی رگ صفر قرار داده شد؛ بدین ترتیب Pe صفر شده و ترم جابجایی از معادلات خارج می‌شود. همچنین از همه پارامترهای موجود در مطالعه پونترلی و دی‌مونته [25] استفاده شد. نقطه بیشینه دارویی تجربه شده توسط لایه مدیا به عنوان معیاری برای ارزیابی میزان دقت شبکه مورد توجه قرار گرفت و با افزایش تعداد سلول‌های شبکه برنامه نوشته شده در چند حالت اجرا شد. نتایج چندین اجرا در جدول 3 آورده شده است. در اشکال 4 الی 6 مشاهده می‌شود که نتایج حاصل از مدل‌سازی با نتایج تحلیلی انطباق خوبی دارند.

پس از اعتبارسنجی نتایج حاصل از مدل‌سازی، لایه‌های اندوتلیوم، اینتیما و لایه الاستیک داخلی حذف شدند. از آنجا که لایه مدیا در معرض تغییرات شدید غلظت خصوصاً در زمان‌های اولیه قرار می‌گیرد قدر نسبت این لایه در تولید شبکه تغییر کرد. در نهایت با در نظر گرفتن 200، 300 و 700 حجم کنترل به ترتیب برای پلیمر، مدیا و ادونتیس دریافتیم که نتایج با اختلاف 0.01% نسبت به اندازه شبکه استقلال دارند.

شکل 3 طرحواره دامنه محاسباتی به همراه حجم‌های کنترل.

جدول 1 خواص هیدرولیکی و مکانیکی لایه‌های مورد مطالعه [37,25,5].

Table 1 Hydraulic and mechanical properties of all investigated layers [5,25,37].

پارامترها			
ادونتیس	مدیا	پوشش فوکانی	پلیمر
12×10^{-12}	7.7×10^{-12}	-	10^{-14}
9800×10^{-6}	200×10^{-6}	-	5×10^{-6}
0.85	0.61	-	0.1
1	1	-	1
-	0.8836	-	σ_f
-	2×10^{-18}	-	κ
-	0.72×10^{-3}	-	μ
-	4.5398	-	λ
-	1.296×10^{-9}	-	U_{ref}
-	-	10^{-8}	P

جدول 2 ضرایب بدون بعد محاسبه شده توسط خواص هیدرولیکی و مکانیکی لایه‌های مورد مطالعه.

Table 2 Calculated non-dimensional coefficients using hydraulic and mechanical properties of all investigated layers.

پارامترها			
ادونتیس	مدیا	پوشش فوکانی	پلیمر
1	0.02	-	5×10^{-4}
1	0.6416	-	8.33×10^{-4}
1	0.7176	-	0.1176
-	0.1478	-	ρ_e
-	0.0857	-	V_V
-	-	9.804	ϕ
-	8.359×10^{-7}	-	Γ

4-روش حل مسئله

با توجه به نوسانی بودن فشار در فصل مشترک پلیمر-مدیا و پیچیدگی معادلات و شرایط مرزی، حل مسئله به روش تحلیلی دشوار بوده و عملایغیرممکن می‌باشد، لذا حل معادلات به روش عددی حجم محدود انجام می‌شود.

4-1-تولید شبکه

شکل 3 طرحواره‌ای از نحوه گستته‌سازی و تولید شبکه را نشان می‌دهد. شبکه بصورت همگا بوده و همه خواص در مرکز هر سلول محاسبه می‌شوند. در لحظه شروع فرآیند غلظت بسیار سریع و از مقدار واحد در $x=0$ به مقدار صفر در $x=0^+$ تغییر می‌کند. این ناحیه شاهد تغییرات آنی قابل توجهی خصوصاً در لحظات اولیه در غلظت است. بهمنظور ریدیابی هرچه بهتر و دقیق‌تر غلظت، می‌بایست تجمع سلول‌ها در فصل مشترک پلیمر-مدیا افزایش یابند. بدین منظور از تصاعد هندسی با قدر نسبت‌های متفاوت در تولید شبکه غیریکنواخت استفاده شد. به منظور مشاهده ناپیوستگی غلظتین لایه‌ها دو نقطه بر روی یکدیگر برای هر یک از فصل مشترک‌های پلیمر-

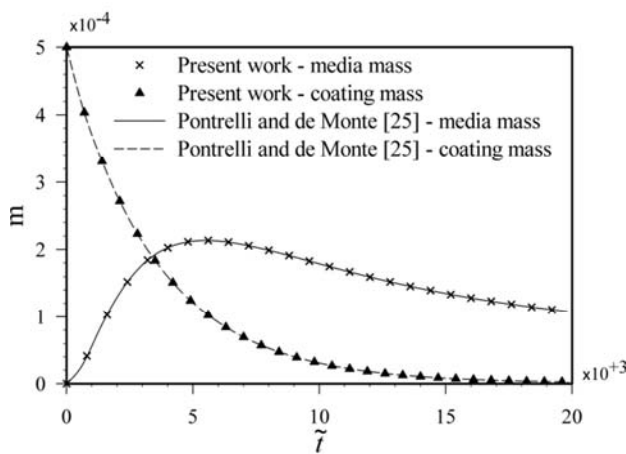


Fig. 6 Comprising media and coating mass profiles among model results and results from Pontrelli [25] and de Monte during 20000s.

شکل ۶ مقایسه پروفیل جرم در لایه‌های میدیا و پلیمر برای نتایج بدست آمده از مدل با نتایج پونترلی و دی مونته [25] در طی مدت 20000s.

به منظور مشاهده میزان تاثیرگذاری جریان پلاسمما وجود و عدم وجود ترم جابجایی با یکدیگر مقایسه شده‌اند. همچنین با سینوسی در نظر گرفتن فشار خون درون مجرأ و نوسان بین دو مقدار 4.167 (سیستول) و 2.5 (دیاستول) و با دوره تنابع 12×10^{-8} جریان ضربانی مطالعه شده است [7]. برای نمایش عمق نفوذ نوسانات فشار و سرعت فیلتراسیون یک دوره تنابع بصورت دلخواه انتخاب شده و به هشت نقطه با اختلاف فاز 45 درجه تقسیم شده است. لازم به ذکر است که به دلیل مستقل بودن معادلات از یکدیگر، می‌توان گفت پروفیل فشار/سرعت فیلتراسیون در هر زمان مشخص، با پروفیل فشار/سرعت فیلتراسیون در زمان مشابه در نوسان‌های دیگر کاملاً بر روی یکدیگر منطبق می‌شوند. همانطور که دیده می‌شود در فصل مشترک پلیمر-میدیا فشار/سرعت فیلتراسیون در بازه $[2.5, 4.167]$ در حال نوسان است. همانطور که از شکل 8 مشخص است، عمق نفوذ نوسانات فشار و سرعت فیلتراسیون به درون لایه میدیا بهزحمت تا $x = 0.002$ می‌رسد، یعنی تنها در حدود 10% از لایه میدیا نوسانات فشار را درک خواهد کرد و 90% باقی مانده از لایه میدیا و تمام لایه ادونتیس به هیچ وجه ضربانی بودن جریان پلاسمما را متوجه نشده‌اند. پارامتر بدون بعد Γ تعیین کننده میزان نفوذ طولی نوسانات فشار و سرعت فیلتراسیون در لایه میدیا است. در حالت نفوذ خالص باید گفت در صورت در نظر نگرفتن جریان پلاسمما معادله (22) حل نمی‌شود، بنابراین پروفیل فشار نخواهیم داشت و سرعت فیلتراسیون صفر در نظر گرفته می‌شود؛ بدین ترتیب ترم جابجایی عملاً از معادلات حذف می‌شود.

5-2-توزیع غلظت هپارین در جداره رگ

شکل‌های 9 و 10 به ترتیب توزیع غلظت دارو در لایه میدیا و لایه ادونتیس را در زمان‌های 200s، 10000s و 20000s برای رگ آسیب‌دیده در دو حالت جریان پلاسمای ضربانی و نبود آن و دو حالت با و بدون پوشش فوقانی نشان می‌دهند؛ این 4 حالت با مطالعه پونترلی و دی مونته [25] که غلظت دارو را در همین زمان‌ها، در شرایط نبود جریان پلاسمما و در رگ سالم بدست آورده‌ند مقایسه می‌شوند. در شکل 9a با مقایسه نتایج بدست آمده با مطالعه پونترلی و دی مونته [25] مشاهده می‌شود که عمق جراحت ایجاد شده و تماس مستقیم استنست با لایه میدیا تغییرات قابل توجهی در غلظت دارو به وجود می‌آورد.

جدول 3 نتایج حاصل از مطالعه شبکه

Table 3 The results of grid study

	اجراها	تعداد سلول‌های شبکه		
4	3	2	1	
200	190	180	100	پلیمر
340	270	230	100	اندوتیوم
520	400	380	170	اینتیما
150	130	100	44	لایه الاستیک داخلی
10700	8120	7800	3200	میدیا
2270	2200	2100	1100	ادونتیس
42.6901	42.6894	42.6886	42.6721	$m_4(t^*)$
0.0016	0.0018	0.038	-	درصد تغییرات (%)

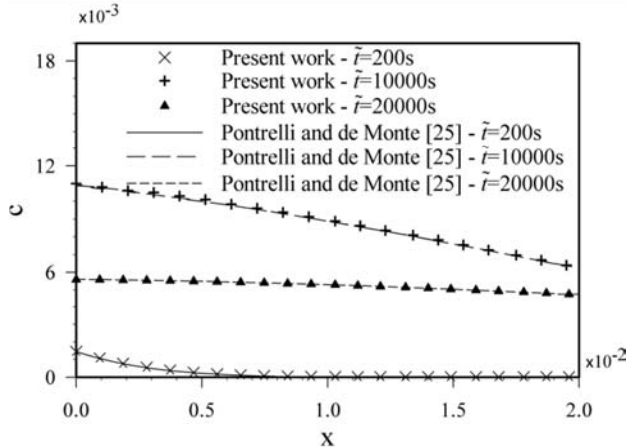


Fig. 4 Comprising media concentration distribution among model results and results from Pontrelli and de Monte [25], in 200s, 10000s and 20000s.

شکل ۴ مقایسه توزیع غلظت لایه میدیا برای نتایج بدست آمده از مدل با نتایج پونترلی و دی مونته [25] در زمان‌های 200s، 10000s و 20000s.

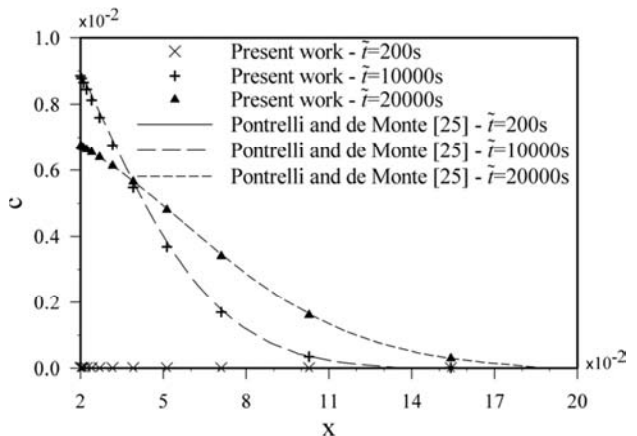


Fig. 5 Comprising adventitia concentration distribution among model results and results from Pontrelli and de Monte [25], in 200s, 10000s and 20000s.

شکل ۵ مقایسه توزیع غلظت لایه ادونتیس برای نتایج بدست آمده از مدل با نتایج پونترلی و دی مونته [25] در زمان‌های 200s، 10000s و 20000s.

5- نتایج و بحث

نتایج برنامه توسعه داده شده برای بررسی آثار پارامترهای مختلف طبق روند نشان داده شده در شکل 7 اجرا شده و نتایج در ادامه ارایه می‌شوند.

5-1-اثر جریان ضربانی بر توزیع فشار و سرعت در لایه میدیا

گرچه پروفیل‌های غلظت در حالت وجود پوشش فوکانی و عدم وجود آن به یکدیگر نزدیک هستند، اما در زمان 200 شارژ لایه مدیا در نبود پوشش فوکانی سریع‌تر انجام می‌شود؛ بدین ترتیب دارو بدون هیچ ممانعتی به این لایه نفوذ کرده و غلظت دارو را در سطحی بالاتر نگه می‌دارد. علاوه بر این، دیده می‌شود که در نظر گرفتن جریان ضربانی پلاسمای مفایس با نفوذ خالص کاهش غلظت را به همراه دارد. با انتخاب 200s به عنوان نماینده زمان‌های شروع شارژ لایه مدیا توسط دارو در می‌یابیم که در زمان‌های اولیه مسئله تعیین کننده عمق چراحت است.

شکل 9b پروفیل دارو در زمان 10000s نشان می‌دهد. در این شکل دیده می‌شود که توزیع غلظت به پوشش فوقانی وابسته نیست، چنان روندی در شکل 9c نیز دیده می‌شود. در حقیقت می‌توان گفت جریان پلاسمای مسئله تعیین‌کننده در زمان‌های میانی و پایانی است. مطابق شکل‌های 9b و 9c دیده می‌شود روندی که در مورد جریان پلاسمای شروع شارژ لایه مدیا وجود داشت در همه زمان‌ها وجود دارد و جریان پلاسمای همواره غلظت را در لایه مدیا در سطح پایین‌تری قرار می‌دهد. چنان نتیجه می‌شود که در صورت در نظر گرفتن جریان پلاسمای عاملی در سرعت بخشیدن به شسته شدن دارو، پروفیل غلظت دارو بصورت پادساعنگرد چرخیده می‌شود. این چرخش ظاهیری پروفیل غلظت به معنی تجمع غلظت در فصل مشترک مدیا-ادونتیس است؛ بنابراین درمی‌باییم که وجود جریان پلاسمای سبب می‌شود که تجمع دارو در فصل مشترک مدیا-ادونتیس سریع‌تر انجام شده و متعاقباً سرعت شسته شدن دارو نیز بیشتر می‌شود. شکل‌های 10a و 10b نشان می‌دهند که در هر نقطه از بافت ادونتیس پروفیل غلظت مربوط به جریان پلاسمای بالاتر از پروفیل غلظت نفوذ خالص، قرار دارد. اگرچه در شکل 10c و

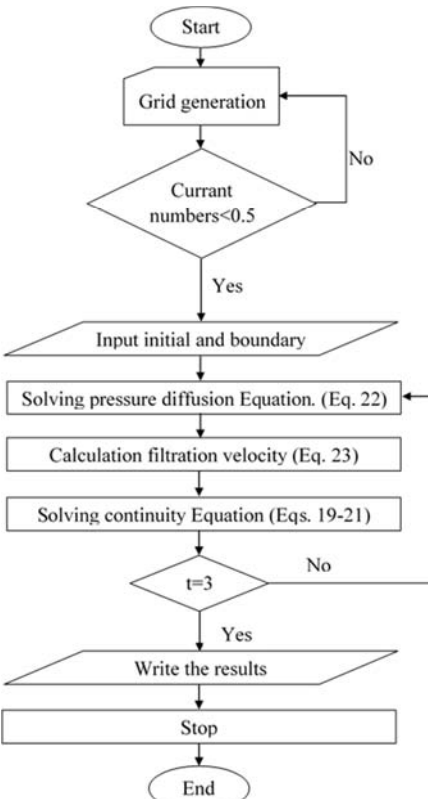


Fig. 7 Schematic flowchart of the solution.

شکل 7 طرحواره فلوچارت روند حل مسئله.

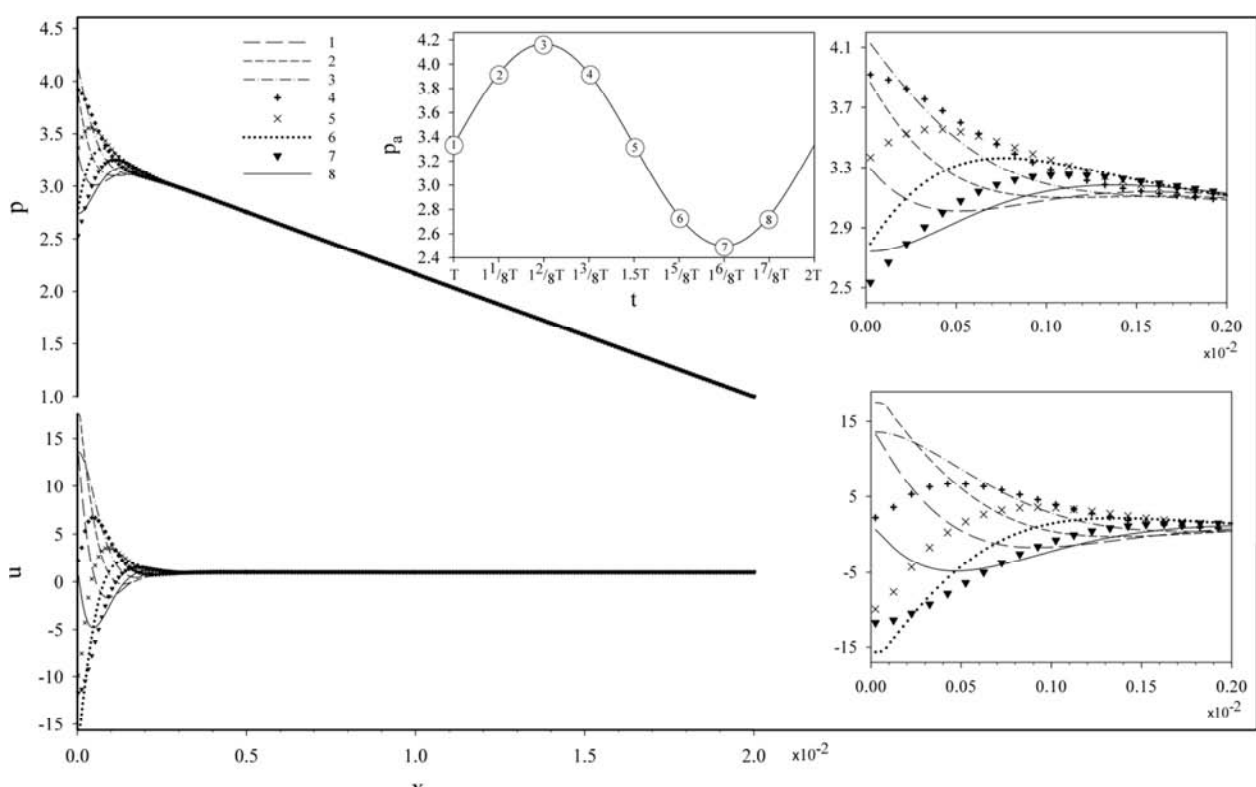


Fig. 8 Pressure and filtration velocity distribution for 8 points with 45 degree phase difference in a period.

شکل ۸ توزیع فشار و سرعت پایی هشت نقطه با 45° گره اختلاف فاصله بود.

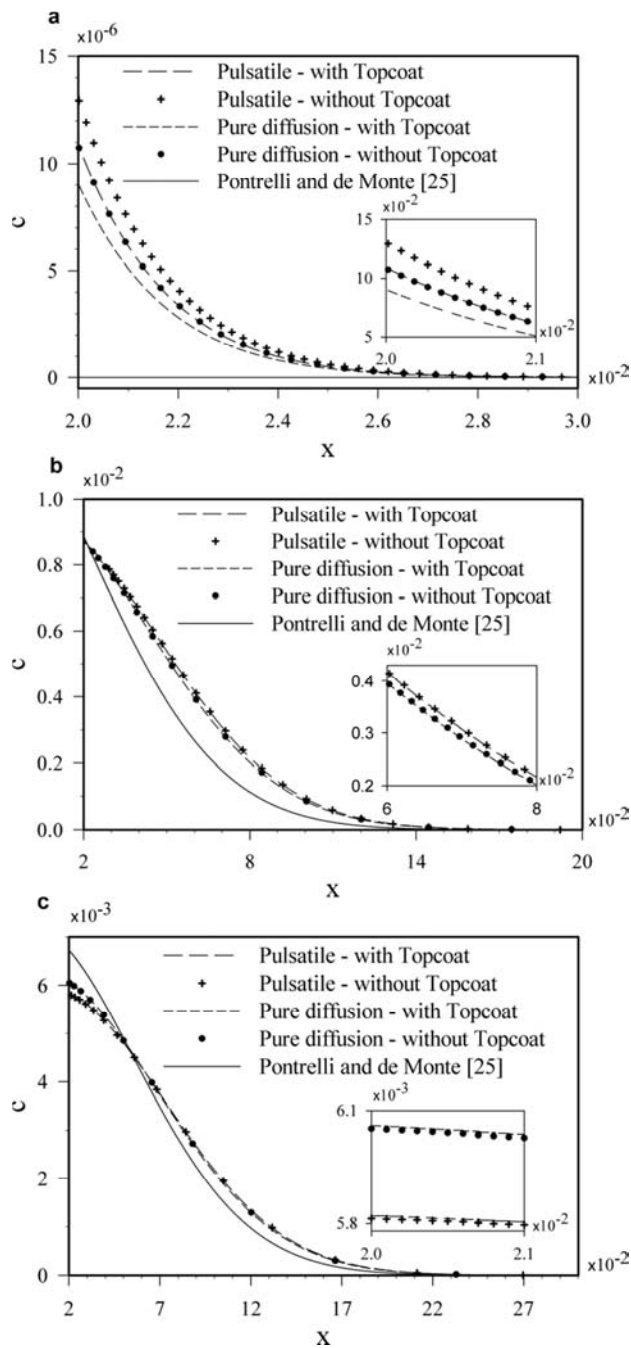


Fig. 10 Adventitia concentration distribution in a) 200s, b) 10000s and c) 20000s by applying pulsatile plasma flow and pure diffusion regimes in media layer in injured coronary artery for the presence and absence of Topcoat.

شکل 10 توزیع غلظت در لایه ادونتیس در زمان‌های (a) 10000s (b) .200s (c) 10000s با اعمال رژیم‌های جریان ضربانی پلاسمما و نفوذ خالص در لایه میدیا برای شریان کرونری آسیب دیده در شرایط وجود و عدم وجود پوشش فوقانی.

در شکل‌های 9 و 10 دیده می‌شود عمق جراحت ایجاد شده و تماس مستقیم استنت با لایه میدیا تغییرات قابل توجهی در توزیع غلظت ایجاد می‌کند. بطوری که در فصل مشترک پلیمر-میدیا و در زمان‌های اولیه فرآیند انتقال (یطور مشخص در 200s) این اختلافات در حدود 20 برابر است.

با دیدن شکل ۸ در نگاه اول انتظار می‌رفت نوسانات سرعت فیلتراسیون با دامنه‌ای قابل توجه (خصوصاً در فصل مشترک پلیمر-میدیا) تاثیری ولو اندک

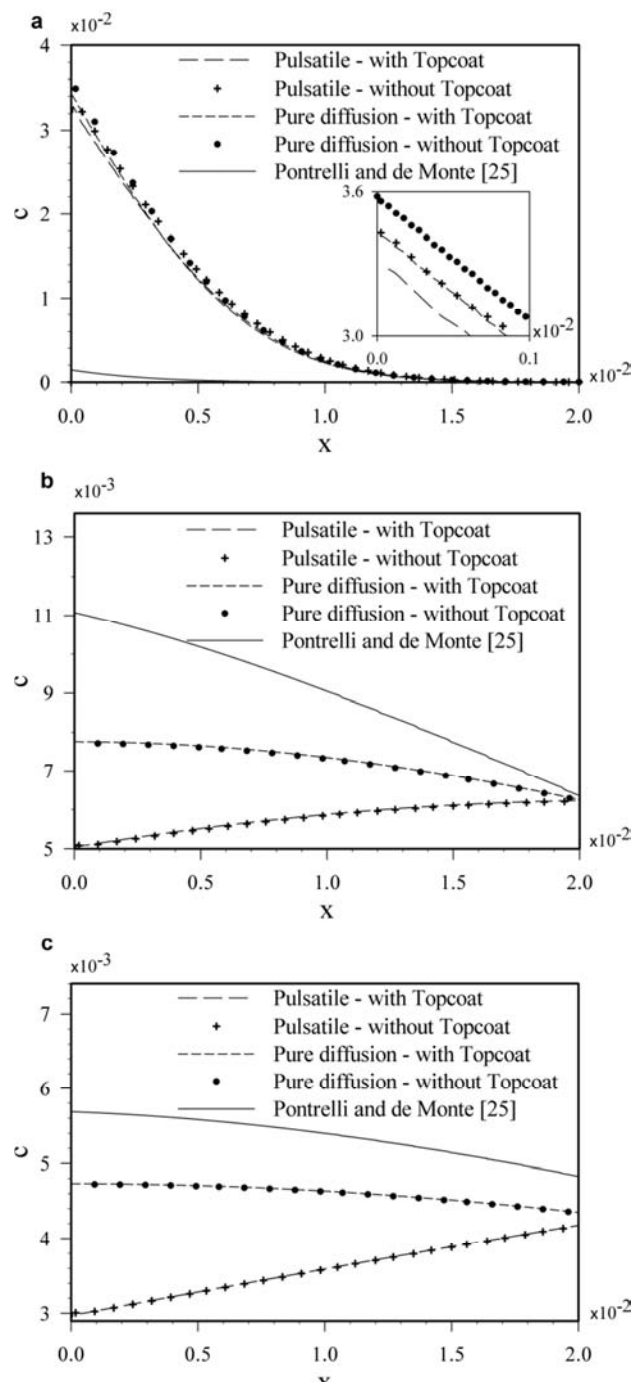


Fig. 9 Media concentration distribution in a) 200s, b) 10000s and c) 20000s by applying pulsatile plasma flow and pure diffusion regimes in media layer in injured coronary artery for the presence and absence of Topcoat.

شکل 9 توزیع غلظت در لایه میدیا در زمان‌های (a) 200s (b) .20000s (c) 10000s با اعمال رژیم‌های جریان ضربانی پلاسمما و نفوذ خالص در لایه میدیا برای شریان کرونری آسیب دیده در شرایط وجود و عدم وجود پوشش فوقانی.

در نزدیکی فصل مشترک در حالت نفوذ خالص غلظت بیشتری دیده می‌شود اما این اتفاق در عرض کوتاهی از لایه ادونتیس رخ می‌دهد. در حقیقت این تجمع دارو سبب می‌شود تا هپارین سریعتر وارد بافت ادونتیس شود؛ بنابراین همانطور که انتظار داریم مقدار داروی موجود در لایه ادونتیس و در حالت وجود جریان پلاسمما در هر لحظه بالاتر از حالت نفوذ خالص است.

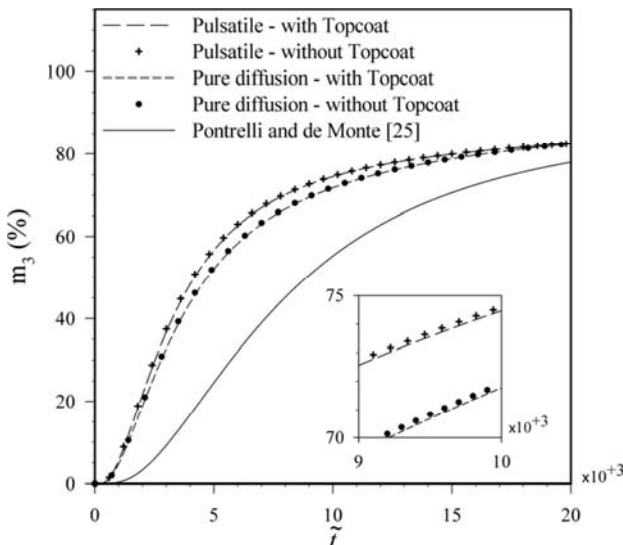


Fig. 12 Adventitia mass profiles by passing 20000s and applying pulsatile plasma flow and pure diffusion regimes in Media layer in injured coronary artery for the presence and absence of Topcoat.

شکل 12 پروفیل جرم لایه ادونتیس در مدت 20000s و با اعمال رژیم‌های جریان ضربانی پلاسمما و نفوذ خالص در لایه مدیا برای شریان کرونری آسیب‌دیده در شرایط وجود و عدم وجود پوشش فوقانی.

از جایی هم خارج نمی‌شود، بنابراین رفتارهای برمیزان آن افزوده می‌شود. در حقیقت بعد از زمانی که دارو از انتهای ادونتیس خارج شود در این لایه می‌توان انتظار رسیدن مقدار جرم دارو به بیشینه مقدار را داشت. همانطور که پیشتر بیان شد بالا رفتن غلظت دارو در فصل مشترک مدیا-ادونتیس در جریان ضربانی سبب افزایش بیشتر جرم در لایه ادونتیس می‌شود.

5- تأثیر پوشش فوقانی بر رهایش دارو از پلیمر

به میزانی که بتوان سینتیک رهایش دارو از پلیمر به عنوان تنها محل نگهداری دارو را تحت کنترل درآورد می‌توان به طراحی موقوف نزدیکتر شد. شکل 13 مقاومت هیدرولیکی بالای لایه‌های اندوتیلیوم، اینتیما و لایه الاستیک داخلی در برابر ورود دارو به سرعت مدیا را نشان می‌دهد. بطور که در رگ آسیب‌دیده دارو به سرعت از مخزن خود تخلیه می‌شود. به عنوان مثال پس از گذشت 1h دیده می‌شود 93% از داروی موجود در پلیمر در تماس با رگ آسیب از دست رفته است. درحالی که در مورد رگ سالم تنها 63.3% از دارو شسته شده است. نکته جالب توجه دیگر این است که سرعت خالی شدن دارو از پلیمر در صورت عدم وجود پوشش فوقانی نسبت به وجود آن بیشتر است که در نگاه اول این مسئله برخلاف انتظار است. بدین معنی که انتظار می‌رفت وجود پوشش فوقانی سرعت تخلیه دارو را از پلیمر کاهش دهد. شکل 13 همچنین نشان می‌دهد در شرایطی که استنت در تماس مستقیم با لایه مدیا از دیواره شریان کرونری آسیب‌دیده باشد، وجود جریان پلاسمما سرعت تخلیه شدن دارو را به میزان اندکی افزایش می‌دهد و به تجمع آن در ادونتیس سرعت می‌بخشد.

6- نتیجه‌گیری

انتقال دارو از استنت‌های پایه پلیمری با دو طراحی متفاوت با و بدون پوشش فوقانی مطالعه شدند؛ همچنین بطور همزمان اهمیت جریان پلاسمما نیز در این مطالعه مورد بررسی قرار گرفت. دو طراحی به گونه‌ای در نظر گرفته شدند که وجود و عدم وجود لایه بسیار نازک و بدون دارویی موسوم به

بر غلظت بگذارد؛ اما برای آگاهی از میزان تاثیر این نوسانات در معادله غلظت می‌باشد به پارامترهای VV و Pe دقت کرد؛ در حقیقت کوچک بودن حاصلضرب این پارامترها مانع از قابل توجه بودن اثر جریان ضربانی می‌شود.

5-3- تغییرات جرم هپارین در جداره رگ

در هر زمان با انتگرال گیری از پروفیل غلظت در طول هر لایه، جرم موجود در لایه مربوطه محاسبه می‌شود. بدین ترتیب پروفیل جرم در لایه مدیا و ادونتیس بصورت تابعی از زمان در شکل‌های 11 و 12 رسم شده است. شکل 11 نشان می‌دهد دارو از مقدار صفر شروع به افزایش می‌کند، در شکل 11 مشخصی به مقدار بیشینه‌ای رسیده و سپس کاهش می‌یابد. در شکل 11 دیده می‌شود با گذشت زمان، استنت بدون پوشش فوقانی نسبت به استنت همراه با پوشش فوقانی بیشینه دارویی بیشتری بدست می‌آورد. این مسئله از پروفیل‌های غلظت شکل 9 نیز قابل استنتاج است. شکل 11 همچنین نشان می‌دهد که جریان پلاسمما سبب کاهش میزان دارو در لایه مدیا می‌شود. چنین روندی در مطالعه بر مدل تک لایه انجام شده توسط یونتری و دی موونته نیز گزارش شده است [24]. جراحت ایجادشده در رگ و نفوذ آن تا مدیا سبب می‌شود دارو بطور مستقیم وارد مدیا شود. این موضوع از این جهت نامطلوب است که در صورت فرض آسیب ندیدن رگ (البته فرض دور از واقعیتی است) و بویژه آسیب ندیدن لایه اینتیما، لایه‌های پیش از مدیا (خصوصاً اینتیما به دلیل ضخیم‌تر و تراواتر بودن نسبت به دو لایه دیگر) به عنوان ذخیره کننده دارو به حساب می‌آمدند. بدین ترتیب جرم دارو در لایه مدیا دیرتر (بطور تقریبی 50min دیرتر) به بیشینه‌ای رسیده؛ همچنین بیشینه مقدار دارو در این لایه مقدار بزرگی نداشت. این مطلب بدین معنی است که جراحت باعث فاصله گرفتن از توزیع یکنواخت‌تر و مطلوب‌تر می‌شود.

شکل 12 تغییرات جرم در لایه ادونتیس را نشان می‌دهد. در این لایه هم مشابه با مدیا غلظت از مقدار صفر افزایش می‌یابد، اما این تفاوت وجود دارد که به دلیل آنکه در مدت 20000s عمق نفوذ غلظت دارو به 1cm نمی‌رسد و

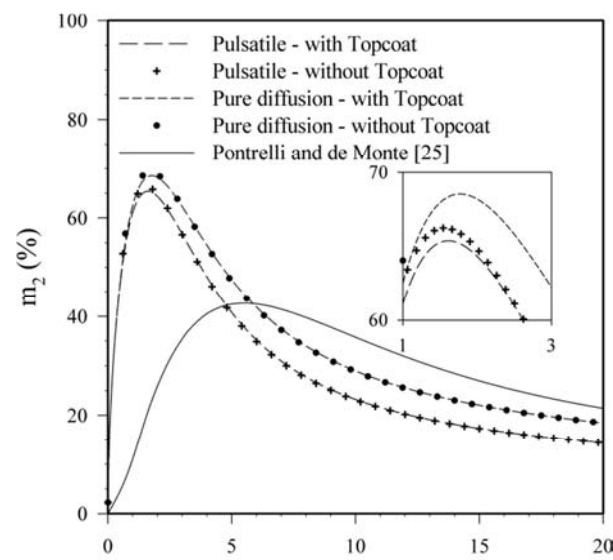


Fig. 11 Media mass profiles by passing 20000s and applying pulsatile plasma flow and pure diffusion regimes in media layer in injured coronary artery for the presence and absence of Topcoat.

شکل 11 پروفیل جرم لایه مدیا در مدت 20000s و با اعمال رژیم‌های جریان ضربانی و نفوذ خالص پلاسمما در لایه مدیا برای شریان کرونری آسیب‌دیده در شرایط وجود و عدم وجود پوشش فوقانی.

- در حالت جریان ضربانی پلاسمای مشاهده گردید که علی‌رغم وجود تغییرات بسیار بزرگ فشار بویژه در نزدیکی فصل مشترک پلیمر-میدیا، کوچک بودن پارامترهای بدون بعد VV و Pe موجب کاهش اثر این نوسانات در معادله غلظت می‌شود.

7-فهرست عالئم

\tilde{C}_1	بیشینه غلظت موجود در پلیمر حاوی هپارین
$(mg\ ml^{-1})$	
$Courant_i$	عدد کورانت در لایه تام
D	ضریب نفوذ هپارین ($m^2\ s^{-1}$)
k	ضریب پارتبیشن
\tilde{L}	ضخامت لایه (m)
m	جرم موجود در لایه
\tilde{p}	فشار (mmHg)
P	تراوایی پوشش فوقانی (ms^{-1})
Pe	عدد پلکت
$\tilde{\tau}$	زمان
\tilde{T}	زمان یک دوره سیکل قلب (s)
\tilde{u}	سرعت فیلتراسیون ($m\ s^{-1}$)
VV	پارامتر بدون بعد در معادله (21)
\tilde{x}	مختصات
علایم یونانی	
ϵ	تخلخل
κ	تراوایی دارسی (m^2)
λ	تراکم‌پذیری همدمای پلاسمای (Pa^{-1})
μ	لزحت پلاسمای ($kg\ m^{-1}s^{-1}$)
γ	نسبت ضرایب نفوذ
ϕ	تراوایی بدون بعد
σ	نسبت تخلخل
σ_f	ضریب بازتاب فیلتراسیون
Γ	پارامتر بدون بعد در معادله (20)
زیرنویس‌ها	
i	لایه تام
max	بیشینه مقدار پارامتر مربوطه در بین تمام لایه‌ها

8-مراجع

- [1] F. de Monte, G. Pontrelli, and S. Becker, Drug release in biological tissues, *Transport in biological media*, pp. 59-118, 2013.
- [2] S. S. Hossain, S. F. A. Hossainy, Y. Bazilevs, V. M. Calo, and T. J. R. Hughes, Mathematical modeling of coupled drug and drug-encapsulated nanoparticle transport in patient-specific coronary artery walls, *Computational Mechanics*, Vol. 49, No. 2, pp. 213-242, 2012.
- [3] B. M. O'Connell, E. M. Cunnane, W. J. Denny, G. T. Carroll, and M. T. Walsh, Improving smooth muscle cell exposure to drugs from drug-eluting stents at early time points: a variable compression approach, *Biomechanics and modeling in mechanobiology*, Vol. 13, No. 4, pp. 771-781, 2014.
- [4] D. K. Stangeby and C. R. Ethier, Coupled computational analysis of arterial LDL transport -- effects of hypertension, *Computer methods in biomechanics and biomedical engineering*, Vol. 5, No. 3, pp. 233-241, 2002.
- [5] N. Yang and K. Vafai, Modeling of low-density lipoprotein (LDL) transport in the artery-effects of hypertension, *International*

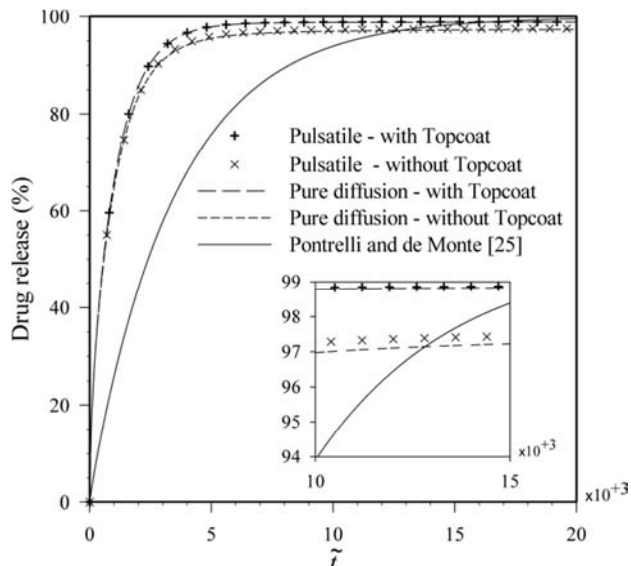


Fig. 13 Drug release profiles by passing 20000s and applying pulsatile plasma flow and pure diffusion regimes in media layer in injured coronary artery for the presence and absence of Topcoat.

شکل 13 پروفیل رهایش داروی پلیمر در مدت 20000s و با اعمال رژیم‌های جریان ضربانی پلاسمای نفوذ خالص در لایه میدیا برای شریان کرونری آسیب دیده در شرایط وجود و عدم وجود پوشش فوقانی.

پوشش فوقانی در دو حالت جریان ضربانی پلاسمای نبود این جریان با یکدیگر مقایسه شدند. به منظور واقعی تر شدن شبیه‌سازی رگ آسیب دیده در فرآیند آنزیوپلاستی مدل‌سازی شده و جریان پلاسمای صورت ضربانی در نظر گرفته می‌شود. از تئوری محیط‌های متخلف در مدل‌سازی دینامیک رهایش دارو از دولایه باقی‌مانده از رگ به همراه پلیمر حاوی دارو استفاده شد. همه لایه‌ها بصورت ماکروسکوپیک همگن و با خواص متفاوت از هم در نظر گرفته شدند. معادلات حاکم بصورت معادلات محیط متخلف میانگین‌گیری حجمی شده هستند.

بر اساس نتایج بدست آمده می‌توان گفت وجود پوشش فوقانی نه تنها پروفیل غلظت تخت تر و توزیع داروی یکنواخت‌تری در لایه میدیا به ارungan نمی‌آورد، بلکه اثر نامناسبی هم دارد؛ بدین معنی که خروج دارو از پلیمر را به میزان اندکی سرعت می‌بخشد. در حقیقت به دلیل کم بودن ضریب نفوذ دارو درون پلیمر وجود پوشش فوقانی بر عملکرد استنت چندان موثر نیست.

در مورد داروهای آبگریز مانند پاکلیتاسیل و سیرولیمومس دو نوع طراحی رهایش سریع و رهایش آهسته وجود دارد که بر فارماکوکینتیک دارو بسیار تاثیرگذار هستند. در این مطالعه دریافتیم که چنین طراحی‌هایی در مورد پلیمر حاوی داروی آبدوستی چون هپارین منجر به تغییر قابل توجه در فارماکوکینتیک دارو نمی‌شود.

در این مطالعه دریافتیم که اگرچه جریان پلاسمای سطح غلظت دارو و متعاقباً جرم موجود در لایه میدیا را کاهش می‌دهد اما این کاهش مقدار بسیار کوچکی داشته و در انتقال دارو چندان موثر نیست، بنابراین پدیده نفوذ پدیده غالب در انتقال محسوب می‌شود.

از بین کلیه فاکتورهای مورد مطالعه مهمترین آنها عمق جراحت است. میزان نفوذ استنت خصوصاً در زمان‌های اولیه درون رگ تعیین‌کننده‌ترین موضوع به شمار می‌رود.

- [22] R. Mongrain, I. Faik, R. L. Leask, J. Rodés-Cabau, E. Larose, and O. F. Bertrand, Effects of diffusion coefficients and struts apposition using numerical simulations for drug eluting coronary stents, *Journal of biomechanical engineering*, Vol. 129, No. 5, pp. 733-742, 2007.
- [23] G. Pontrelli and F. de Monte, Mass diffusion through two-layer porous media: an application to the drug-eluting stent, *International Journal of Heat and Mass Transfer*, Vol. 50, No. 17-18, pp. 3658-3669, 2007.
- [24] G. Pontrelli and F. de Monte, Modeling of mass dynamics in arterial drug-eluting stents, *Journal of Porous Media*, Vol. 12, No. 1, pp. 19-28, 2009.
- [25] G. Pontrelli and F. de Monte, A multi-layer porous wall model for coronary drug-eluting stents, *International Journal of Heat and Mass Transfer*, Vol. 53, No. 19-20, pp. 3629-3637, 2010.
- [26] G. Pontrelli, A. Di Mascio, and F. de Monte, Local mass non-equilibrium dynamics in multi-layered porous media: application to the drug-eluting stent, *International Journal of Heat and Mass Transfer*, Vol. 66, pp. 844-854, 2013.
- [27] P. Zunino, Multidimensional pharmacokinetic models applied to the design of drug-eluting stents, *Cardiovascular Engineering*, Vol. 4, No. 2, pp. 181-191, 2004.
- [28] S. McGinty, S. McKee, R. M. Wadsworth, and C. McCormick, Modelling drug-eluting stents, *Mathematical Medicine and Biology*, Vol. 28, No. 1, pp. 1-29, 2010.
- [29] E. Cutrì, P. Zunino, S. Morlacchi, C. Chiastra, and F. Migliavacca, Drug delivery patterns for different stenting techniques in coronary bifurcations: a comparative computational study, *Biomechanics and modeling in mechanobiology*, Vol. 12, No. 4, pp. 657-669, 2013.
- [30] C. D'Angelo and P. Zunino, Robust numerical approximation of coupled Stokes' and Darcy's flows applied to vascular hemodynamics and biochemical transport, *ESAIM: Mathematical Modelling and Numerical Analysis*, Vol. 45, No. 3, pp. 447-476, 2010.
- [31] S. M. Vahedi and M. S. Valipour, Numerical simulation of drug release through arterial wall: the investigation of hypertension, 24th Annual conference of Mechanical Engineers conference (ISME), 2016. (in Persian) فارسی
- [32] S. McGinty, A decade of modelling drug release from arterial stents, *Mathematical biosciences*, Vol. 257, pp. 80-90, 2014.
- [33] F. Migliavacca, F. Gervaso, M. Prosi, P. Zunino, S. Minisini, L. Formaggia, and G. Dubini, Expansion and drug elution model of a coronary stent, *Computer methods in biomechanics and biomedical engineering*, Vol. 10, No. 1, pp. 63-73, 2007.
- [34] Z. E. Heineman, Fluid flow in porous media, *Montanuniversität Leoben, Petroleum Engineering Department Textbook Series*, pp. 65-82, 2005.
- [35] J. Bear, Dynamics of fluids in porous media. *Courier Corporation*, pp. 117-134, 2013.
- [36] A. Deyranlou, H. Niazmand, and M.-R. Sadeghi, Investigation of effective parameters on accumulation of low-density lipoproteins based on the multilayer wall of the carotid artery, *Modares Mechanical Engineering*, Vol. 14, No. 4, pp. 27-36, 2014. (in Persian) فارسی
- [37] Y. D. Na Zhang, Peng Zhang, Wei Kang, Danny Bluestein, Parameterizing the morse potential for coarse-grained modeling of blood plasma, *Journal of Computational Physics*, Vol. 257, pp. 726-736, 2015.
- [38] S. V. Patankar, *Numerical Heat Transfer and Fluid Flow*, McGraw Hill, New York, USA, pp. 54-59, 1980.
- [22] R. Mongrain, I. Faik, R. L. Leask, J. Rodés-Cabau, E. Larose, and O. F. Bertrand, Effects of diffusion coefficients and struts apposition using numerical simulations for drug eluting coronary stents, *Journal of Heat and Mass Transfer*, Vol. 49, No. 5-6, pp. 850-867, 2006.
- [6] S. Wang and K. Vafai, Analysis of the effect of stent emplacement on LDL transport within an artery, *International Journal of Heat and Mass Transfer*, Vol. 64, pp. 1031-1040, 2013.
- [7] S. Chung and K. Vafai, Effect of the fluid-structure interactions on low-density lipoprotein transport within a multi-layered arterial wall, *Journal of biomechanics*, Vol. 45, No. 2, pp. 371-381, 2012.
- [8] A. Deyranlou, H. Niazmand, and Y. Mesri, Blood pulsatile effect on LDL mass transport in a multilayered carotid artery with atherosclerotic plaques, *Modares Mechanical Engineering*, Vol. 14, No. 7, pp. 17-26, 2014. (in Persian) فارسی
- [9] M. Khakpour and K. Vafai, Critical assessment of arterial transport models, *International Journal of Heat and Mass Transfer*, Vol. 51, No. 3-4, pp. 807-822, 2008.
- [10] A. Kastrati, A. Dibra, C. Spaulding, G. J. Laarman, M. Menichelli, M. Valgimigli, E. Di Lorenzo, C. Kaiser, I. Tierala, J. Mehilli, M. Seyfarth, O. Varenne, M. T. Dirksen, G. Percoco, A. Varriacchio, U. Pitti, M. Syvänen, M. J. Suttorp, R. Violini, and A. Schömöig, Meta-analysis of randomized trials on drug-eluting stents vs. bare-metal stents in patients with acute myocardial infarction, *European heart journal*, Vol. 28, No. 22, pp. 2706-2713, 2007.
- [11] G.J. Laarman, M.J. Suttorp, M.T. Dirksen, L. van Heerebeek, F. Kiemeneij, T. Slagboom, L. R. van der Wieken, J.G.P. Tijssen, Paclitaxel-eluting versus uncoated stents in primary percutaneous coronary intervention, *The new England Journal of Medicine*, Vol. 355, No. 11, pp. 1105-1113, 2006.
- [12] F. Bozsak, J.-M. Chomaz, and A. I. Barakat, Modeling the transport of drugs eluted from stents: physical phenomena driving drug distribution in the arterial wall, *Biomechanics and modeling in mechanobiology*, Vol. 13, No. 2, pp. 327-347, 2014.
- [13] D. M. Martin and F. J. Boyle, Drug-eluting stents for coronary artery disease: A review, *Medical engineering & physics*, Vol. 33, No. 2, pp. 148-163, 2011.
- [14] S. McGinty and G. Pontrelli, A general model of coupled drug release and tissue absorption for drug delivery devices, *Journal of controlled release*, Vol. 217, pp. 327-336, 2015.
- [15] B. M. O'Connell and M. T. Walsh, Demonstrating the influence of compression on artery wall mass transport, *Annals of biomedical Engineering*, Vol. 38, No. 4, pp. 1354-1366, 2010.
- [16] W. Khan, S. Farah, and A. J. Domb, Drug eluting stents: developments and current status, *Journal of controlled release*, Vol. 161, No. 2, pp. 703-712, 2012.
- [17] M. Prosi, P. Zunino, K. Perktold, and A. Quarteroni, Mathematical and numerical models for transfer of low-density lipoproteins through the arterial walls: a new methodology for the model set up with applications to the study of disturbed luminal flow, *Journal of biomechanics*, Vol. 38, No. 4, pp. 903-917, 2005.
- [18] G. Rappitsch and K. Perktold, Pulsatile albumin transport in large arteries: A numerical simulation study, *Journal of biomechanical engineering*, Vol. 118, No. 4, pp. 511-519, 1996.
- [19] Sh. Wada and T. Karino, Computational study on LDL transfer from flowing blood to arterial walls, *Clinical Application of Computational Mechanics to the Cardiovascular System*. Springer, pp. 157-173, 2000.
- [20] C. Yang and H. M. Burt, Drug-eluting stents: factors governing local pharmacokinetics, *Advanced drug delivery reviews*, Vol. 58, No. 3, pp. 402-411, 2006.
- [21] B. M. O. Connell, T. McGloughlin, and M. T. Walsh, Factors that affect mass transport from drug eluting stents into the artery wall, *Biomedical engineering online*, pp. 1-16, 2010.